



15-05/AD-DN/400.- Aspecto de las calizas de la Formación
Láncara (CA₁₋₂).



15-05/AD-DN/401.- Pizarras, cuarcitas y areniscas glauco
níticas (CA_2-O_{11}) de la Formación Oville.



15-05/AD-DN/402.- Cuarcita blanca masiva (O_{12}). Cuarcita
de Barrios.



15-05/AD-DN/403.- Aspecto de las calizas grises (D_3) del Devónico superior.



15-05/AD-DN/404.- Pizarras negras y liditas (H_{11}^A). Piza
rras de Vegamian.



15-05/AD-DN/405.- Calizas nodulosas rojas ($H_{11}^A - B_1$). Caliza "griotte".



15-05/AD-DN/406.- Caliza "griotte" ($H_{11}^A - B_1$) en las esca
mas del desfiladero de los Beyos.



15-05/AD-DN/407.- Calizas tabladadas, negras y fétidas
 H_1^B . Caliza de Montaña.



15-05/AD-DN/408.- Pizarras rojizas de la serie de Piza
rras y areniscas westfalienses (H_2^B).



15-05/AD-DN/409.- Calizas negras tableadas, con laminacio
nes y fétidas (Hb). Caliza de Barcaliente.



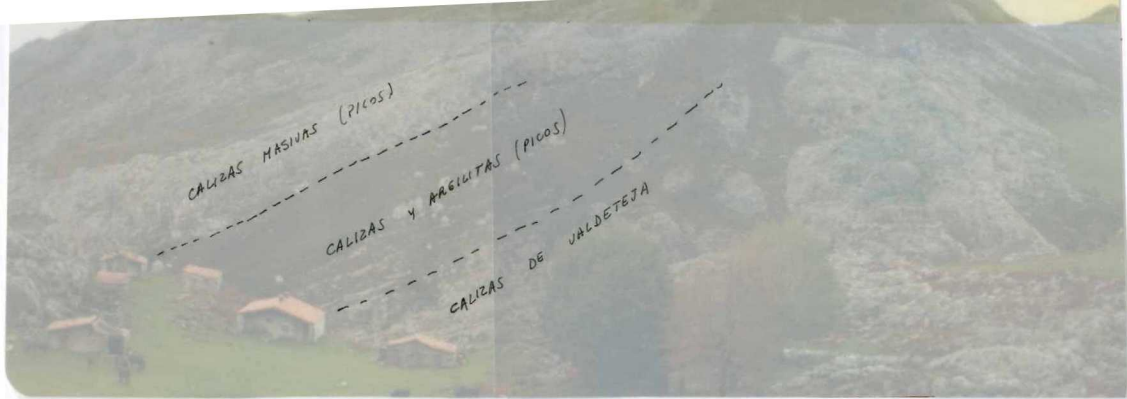
15-05/AD-DN/410.- Aspecto de las calizas masivas de Picos ($H_{22-24}^B - B$) en Covadonga.



15-05/AD-DN/411.- Parte superior de la Caliza de Barca
liente (H_B^B₁), con abundante presencia de silex.



15-05/AD-DN/412.- Panorámica de las calizas blanco-cremosas masivas (H_{1-2}^{B-B}) (Valdeteja) a la derecha; el miembro inferior de Picos de calizas y argillitas alternantes (H_{21-22}^{B-B}) en el centro y el miembro superior de Picos, calizas masivas (H_{22-24}^{B-B}) a la izquierda.



15-05/AD-DN/412.- Panorámica de las calizas blanco-cremosas masivas ($H_V^B - B_1 - B_2$) (Valdeteja) a la derecha; el miembro inferior de Picos de calizas y argilitas alternantes ($H_{21-22}^B - B$) en el centro y el miembro superior de Picos, calizas masivas ($H_{22-24}^B - B$) a la izquierda.



15-05/AD-DN/413.- Calizas bioclásticas masivas ($H_{22-24}^B - B$)
de la formación Picos.



15-05/AD-DN/414.- Calizas brechoides rosadas ($H_{22-24}^B - B$) de la formación Picos.



15-05/AD-DN/415.- Calizas bioclásticas, margas y pizarras ($H_{23-24}^B - B$) del techo de la formación Picos.



15-05/AD-DN/416.- Depósitos olistostrómicos ($H_{Ca}^{B_3} - B_{24-32}$) de la base del westfaliense D superior - Estefaniense en Amieva.



15-05/AD-DN/417.- Pizarras y areniscas ($H_{24}^{B3} - B_{32}$) del -
Westfaliense D sup. - Estefaniense, en Amieva.



15-05/AD-DN/418.- Pizarras y areniscas (H_{24-32}^{B3-B}) del -
Westfaliense D sup. - Estfaniense, en Amieva.



15-05/AD-DN/419.- Conglomerado calcáreo ($H_{24}^{3} - 32$) de la base del Westfaliense D sup. - Estefaniense, en Covadonga



15-05/AD-DN/420.- Areniscas y pizarras ($H_{24}^{B3} - B_{32}$) del West
faliense D sup. - Estefaniense, en la carretera de Cova
donga a los Lagos.



15-05/AD-DN/421.- Calizas bioclásticas negras ($H_{24}^{B_3 - B}$
 ca_{32})
Canal de Capozo (a la derecha), apoyadas sobre la cali-
za de Barcaliente (H_B^1).



15-05/AD-DN/422.- Pliegues en las calizas ($H_{24}^{B3} - ca_{32}^B$) del
Canal de Capozo.



15-05/AD-DN/423.- Conglomerado silíces ($H_{24-23}^{B-Cg} - B$) dentro de la serie pizarroso-areniscosa de la Formación Valdeón.





15-05/AD-DN/424.- Panorámica del Permo-Trías (P - Tg) de Valdepino. Al fondo las estructuras del Manto del Ponga.



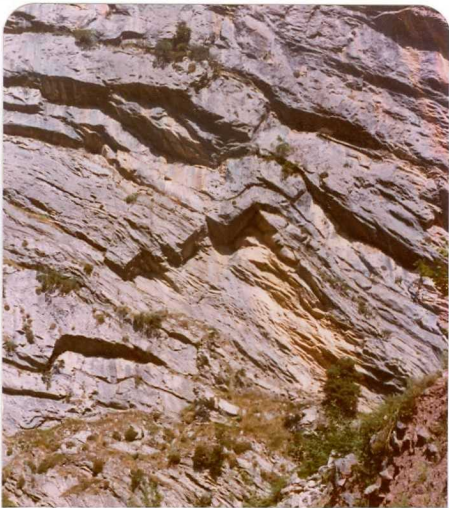
15-05/AD-DN/425.- Arenas blancas, areniscas y margas -
(C₁₆) de la facies Utrillas del Cretácico inferior.



15-05/AD-DN/426.- Calizas de Picos (H_{22-24}^{B-B}) carstificadas, recubiertas por materiales morrénicos (Q_1).



15-05/AD-DN/427.- Aspecto típico "aborregado" de las calizas de Picos (H₂₂₋₂₄). B - B



15-05/AD-DN/428. - Pliegue chevrón asimétrico, con vergencia S en las calizas de Barcaliente (H_B^1), consecuencia de los empujes tectónicos dirigidos hacia el S.



15-05/AD-DN/429.- Calizas de la formación Picos de Europa (H_{22-24}^{B-B}). Se observa su aspecto "aborregado" producido por la erosión glaciar.



15-05/AD-DN/430.— Panorámica del cabalgamiento frontal de la Región de Picos de Europa.



15-05/AD-DN/431.- Cabalgamiento frontal de la Región de Picos de Europa sobre la del Pisuerga-Carrión, en el collado de Beza.



15-05/AD-DN/432.- Panorámica, desde el canal de Capozo, a la margen del río Cares. Observese la vergencia S de los planos de cabalgamiento (N a la izquierda).



15-05/AD-DN/433.- Vista del cabalgamiento de Caín y estructuras vergentes al S
(el N al fondo).



15-05/AD-DN/434.- Cabalgamiento de la Región Picos de Europa sobre la Región de Pisuerga-Carrión en la zona de la Corona.



15-05/AD-DN/435.- Panorámica del Macizo Occidental de los Picos de Europa desde las proximidades del lago Enol. Al fondo el vértice St^a María de Enol.